

بررسی جریان لایه مرزی با استفاده از داده‌های حاصل از جریان سنج سیم داغ و به کارگیری شبکه عصبی

احسان ایزد پناه^۱دانشکده مکانیک
دانشگاه یزدوحیده دشتی^۲مجتمع دانشگاهی مکانیک و هوافضا
دانشگاه صنعتی مالک اشترمرضیه بابایی ریبعی^۲دانشکده مکانیک
دانشگاه یزدمجتبی دهقان منشادی^۱مجتمع دانشگاهی مکانیک و هوافضا
دانشگاه صنعتی مالک اشتر

(تاریخ دریافت: ۱۳۹۰/۰۴/۲۸؛ تاریخ پذیرش: ۱۳۹۲/۰۹/۲۹)

چکیده

در این تحقیق به علت اهمیت لایه مرزی در مکانیک سیالات و نقش آن در کاربردهای متعدد، مطالعه جریان لایه مرزی مورد توجه قرار گرفته است. در این راستا، در یک مقطع از جریان عبوری از یک صفحه تخت، با استفاده از داده‌های حاصله از جریان سنج سیم داغ، پارامترهای توربولانسی نظیر شدت توربولانس، مقیاس طولی کولموگرو، نرخ اضمحلال و تغییرات پروفیل سرعت در ارتفاعهای مختلف از صفحه تعیین و تحلیل گردید. همچنین با آموزش یک شبکه عصبی توافق خوبی برای داده‌های نقطه هدف شبکه عصبی با داده‌های به دست آمده از طریق تجربی مشاهده شد که اطمینان لازم در استفاده از این شبکه عصبی را برای تعیین مقادیر متناظر در نقاطی غیر از نقاط داده برداری ایجاد نمود. بررسی اثر تعداد نمونه داده برداری روی پارامترهای توربولانس و تحلیل فرکانسی نیز در این تحقیق انجام شده است. نتایج نشان می‌دهد که با فاصله گرفتن از صفحه تخت، شدت توربولانس، طول کولموگرو و برگستگی کاهش و نرخ اضمحلال و نرخ اضمحلال و مقدار سرعت متوسط افزایش می‌یابد. همچنین با نزدیک شدن به صفحه تخت، دامنه تبدیل سری فوریه افزایش می‌یابد.

واژه‌های کلیدی: جریان لایه مرزی، شبکه عصبی، جریان سنج سیم داغ، توربولانس، تحلیل فرکانسی

An Experimental Investigation on Boundary Layer Flow by Using Hot-Wire Anemometer and Neural Network

M.D. ManshadiMech. and Aerospace Eng. Dep.
Malek Ashtar Univ.**M.B. Rabiei**Mech. Eng. Dep.
Yazd Univ.**V. Dashti**Mech. and Aerospace Eng. Dep.
Malek Ashtar Univ.**E. Izadpanah**Mech. Eng. Dep.
Yazd Univ.

(Received: 19 July, 2011; Accepted: 20 December, 2013)

ABSTRACT

In this research, turbulence parameters such as turbulence intensity, Kolmogorov length scale, dissipation rate and velocity profiles at a cross section of flow over a flat plate are analyzed by using hot wire anemometer. Furthermore, the behaviors of parameters at unknown heights of plate are predicted by utility of advanced neural networks. One can find that there is well agreement between results of neural network at unidentified points and experimental data that guarantees the use of neural network to determine turbulent parameters at each point that there are not any experimental data for them. In addition to, frequency analysis and the effect of number of samples on the turbulence parameters are considered. The results show that the turbulence intensity, Kolmogorov length scale and Kurtosis are decreased with increase the height where dissipation rate and mean velocity are increased. Furthermore, the amplitude of FFT is increased near the plate.

Keywords: Boundary Layer Flow, Neural Network, Hot-wire Anemometer, Turbulence, Frequency Analysis

۱- استادیار (نویسنده پاسخگو): mdmanshadi@alum.sharif.edu

۲- دانشجوی دکتری: mbrabiee@gmail.com

۳- کارشناس ارشد: vahideh.dashti@gmail.com

۴- استادیار: E.izadpanah@pgu.ac.ir

۱- مقدمه

لایه مرزی به صفر می‌رسد، همچنین این تنفس رینولدز بر روی صفحه نیز صفر می‌شود. مطالعه توربولانس در پایین دست جریان یک مدل توربین باد واقع در یک لایه مرزی توسعه یافته روی سطوح صاف و زبر، با استفاده از داده‌های جریان سنج سیم داغ توسط چامارو^۶ و پورت^۷ انجام شد. مشاهده شد که اثر توربین روی سرعت و شدت توربولانس حتی در فواصل دور، ۱۵ برابر قطر رotor، قابل اغماض نیست [۷]. داده‌های حاصل از جریان سنج سیم داغ در حدی قابل قبول هستند که فوکات^۸ و همکارانش از آن برای معتبرسازی داده‌های حاصل از سرعت سنج تصویر ذره، PIV، در کار خود، ایجاد شرایط مرزی دینامیکی در نزدیک دیوار به منظور کاهش عملیات لازم در این ناحیه توسط شبیه‌سازی ادیهای بزرگ، استفاده کردند [۸]. در مرجع [۹] توزیع سرعت متوسط و خواص آشفتگی برای لایه مرزی روی یک صفحه تخت در حالت گرادیان فشار صفر به دست آمده است. نتایج نشان داد که مقدار شدت اغتشاشات سرعت جریان سیال در لایه مرزی بسیار بالا و غیرهمگمن می‌باشد. اشکفتی، دهقان و منشادی در مرجع [۱۰] تأثیر شیار بر پارامترهای لایه مرزی روی یک صفحه تخت شیار دار را بررسی کرده‌اند. نتایج آنها نشان داد که وجود شیار پارامترهای مشخص کننده لایه مرزی به خصوص ضربی اصطکاک را تحت تأثیر قرار می‌دهد.

در پژوهش حاضر علاوه بر بررسی پارامترهای توربولانسی حاصل از داده‌های جریان سنج سیم داغ در ارتفاع‌های مختلف یک مقطع از جریان لایه مرزی آشفته روی سطح تخت، آموزش یک شبکه عصبی برای تعیین مقادیر در نقاطی غیر از نقاط داده‌برداری در آزمایش تجربی انجام شده است. هدف اصلی تحقیق حاضر، بررسی پارامترهای جریان سیال در ارتفاعات مختلف از صفحه تخت می‌باشد.

۲- پارامترهای توربولانسی برای معرفی فیزیک جریان
در بررسی فیزیک لایه مرزی آشفته، تحلیل پارامترهای توربولانسی از قبیل سرعت متوسط زمانی، شدت توربولانس، طول کولموگرو و غیره مهم می‌باشد [۱۱]. سرعت متوسط زمانی بیانگر سرعت متوسط جریان است و با سرعت لحظه‌ای $u(t)$ و نوسانات سرعت $u'(t)$ به صورت:

6-Chamorro
7-Porte
8 -Foucaut

با توجه به وسعت کاربرد لایه مرزی آشفته، بررسی فیزیک لایه مرزی و تحلیل پارامترهای توربولانسی آن از اهمیت زیادی برخوردار است. در آزمایشات تجربی در تونل باد جریان سنج سیم داغ از با سابقه‌ترین وسایلی است که برای این منظور مورد استفاده قرار می‌گیرد. پاسخگویی جریان سنج سیم داغ با پراب X شکل در نواحی با گرادیان سرعت زیاد مانند نواحی نزدیک دیوار در جریان لایه مرزی توسط تالامی و همکاران به صورت تجربی بررسی و عملکرد صحیحی برای اندازه‌گیری‌های نزدیک دیوار پیشنهاد شده است که برای تصحیح پروفیل‌های تنفس رینولدز در لایه مرزی صفحه تخت به کار رفته است [۱]. استرلاند^۱ و جانسون^۲ محدوده عدد پکلت را که در پراب دوبعدی در نزدیکی دیوار تداخل حرارتی در حد قابل قبول باشد را تعیین کرده‌اند [۲]. بارن^۳ و کوادریو^۴ با توجه به مورد توجه قرار گرفتن نصب شیارهای طولی روی سطوح برای کاهش اصطکاک سطحی، از جریان سنج سیم داغ و تکنیک U-Level، به عنوان مناسب‌ترین الگوریتم برای تحلیل اندازه‌گیری‌های سرعت در یک نقطه توسط سیم داغ یک بعدی، برای تحلیل جریان لایه مرزی روی سطح تخت و سطح دارای شیارهای طولی پرداختند [۳]. برزک^۵ و همکاران به بررسی تجربی اثرات زبری سطح و گرادیان فشار معکوس روی لایه مرزی توربولانس توسعه یافته پرداختند. شرایط جریان مشابه برای دو حالت سطوح صاف و زبر ایجاد شد. اصطکاک سطحی محاسبه شده از این تکنیک افزایش ۵۸٪ ناشی از زبری سطح را نشان می‌دهد [۴]. سلطانی، منشادی و میرعبداللهی در یک تحقیق توزیع فشار روی صفحه تخت و همچنین تغییرات لایه مرزی در موقعیت‌های مختلف یک صفحه تخت را به منظور بررسی پایداری جریان یک تونل باد بررسی کردند. نتایج آنها نشان داد که وجود رفتار لایه مرزی روی صفحه تخت متاثر از شدت توربولانس جریان آزاد است. ضمن اینکه حضور یک زبری مصنوعی می‌تواند پارامترهای جریان را به شدت مورد تأثیر قرار دهد. نتایج آنها نشان داد امکان دارد گرادیان فشار روی صفحه تخت صفر نباشد [۵]. در مرجع [۶] توزیع تنفس رینولدز در ناحیه دیواره لایه مرزی به دست آمده است. نتایج پژوهش مذکور نشان می‌دهد که تنفس رینولدز در نزدیکی دیواره بیشترین مقدار را داشته، سپس افت کرده و در خارج از

1 - Österlund

2- Johansson

3 -Baron

4 -Quadrio

5 -Brzek

$$S_u = 1/N \sum_1^N \frac{(U(n) - \bar{U})^3}{\sigma_u^3}, \quad (6)$$

$$Ku = 1/N \sum_1^N \frac{(U(n) - \bar{U})^4}{\sigma_u^4}. \quad (7)$$

۳- روند انجام آزمایشات

این تحقیق به منظور بررسی رفتار جریان در داخل لایه مرزی انجام گرفته است. برای این منظور، یک صفحه تخت در توپل باد مادون صوت قرار گرفته و با پراب لایه مرزی در یک موقعیت مشخص از صفحه تخت، ۵ سانتی‌متر از شروع صفحه تخت که بررسی‌ها نشان داد کاملاً جریان در آنجا مغذو شده باشد، در ارتفاعات مختلف از صفحه، سیگنال‌های حاصل از سیم داغ ثبت شده‌اند. به واسطه جلوگیری از پاره شدن پراب سیم داغ تا ۱ میلی‌متری صفحه با دقت بالا و با سیستم تراورسینگ نزدیک شده و تا شرایط جریان آزاد، ۱۰ میلی‌متر از صفحه تخت با گام ۱ میلی‌متر اندازه‌گیری لایه مرزی انجام شده است. قابل ذکر است سیستم تراورسینگ از راه دور با استفاده از برنامه کامپیوتری مربوطه با دقت ۵/۰ میلی‌متر تنظیم شده است. اگرچه آزمایش‌ها در محدوده سرعت مختلف انجام گرفته ولی در این پژوهش فقط داده‌های مربوط به سرعت ۵۰ متر بر ثانیه مورد توجه واقع شده است. توپل باد مادون صوت استفاده شده در این پژوهش از نوع مدار بسته بوده که ابعاد محفظه آزمایش آن $200 \times 80 \times 80$ سانتی‌متر است. در سال‌های اخیر فعالیت‌های ارزشمندی در راستای بهبود کیفیت جریان مقطع کاری آن انجام شده به نحوی که شدت توربولانس آن به ۱۵/۰ درصد کاهش یافته است. در حال حاضر این توپل مجهز به یک بالانس شش مؤلفه خارجی است که قابلیت اندازه‌گیری کلیه نیروها و ممان‌های وارد به مدل در زوایای حمله و سرعت‌های مختلف، حداقل ۱۰۰ متر بر ثانیه را دارا می‌باشد. شکل توپل باد در شکل ۱ ارائه شده است. قابل ذکر است جهت انجام آزمایش‌ها، ابتدا سیم داغ به صورت دینامیکی و استاتیکی کالیبره شده است. بعد از کالیبراسیون دینامیکی و ارزیابی پاسخ فرکانسی پراب سیم داغ در مدار الکترونیکی دما ثابت نسبت به سیگنال موج مربع فرکانس قطع ۱۵ کیلوهرتز و فرکانس داده‌برداری ۱ کیلوهرتز و تعداد داده‌ها ۱۰۰۰ انتخاب شد. صفحه تخت به صورت دوبعدی در توپل باد نصب شد و برای جلوگیری از گرادیان فشار ناگهانی، لبه صفحه تخت شب‌دار طراحی و ساخته شد. صفحه تخت دارای طول ۶۰ و عرض ۴۰ سانتی‌متر می‌باشد.

$$U_{mean} = \frac{1}{N} \sum_1^N U(n), \quad (1)$$

که در آن، N تعداد نمونه‌های اندازه‌گیری شده است. انحراف معیار سرعت جریان سیال که مشخص کننده شدت اغتشاش‌های جریان سیال است، تحت عنوان مجدور میانگین مربعات شناخته می‌شود و طبق معادله زیر تعریف می‌شود:

$$u_{rms} = \left(\frac{1}{N-1} \sum_1^N (U(n) - U_{mean})^2 \right)^{0.5}. \quad (2)$$

با استفاده از انحراف معیار سرعت جریان سیال، می‌توان شدت اغتشاش‌های جریان سیال را به صورت زیر تعریف نمود:

$$T_u = \frac{u_{rms}}{\bar{u}} \times 100. \quad (3)$$

نرخ اضمحلال^۱ بیانگر تبدیل انرژی حرکت توده‌ای سیال (ادی) به انرژی حرکت مولکولی سیال است. به عبارت دیگر ادی‌های بزرگ به ادی‌های کوچک تبدیل می‌شوند و مطابق زیر تعریف می‌شوند:

$$\varepsilon = \frac{15\nu}{U_{mean}^2} \times \left[\frac{1}{N} \sum_{i=1}^{N-1} \left(\frac{U_{i+1} - U_i}{\Delta t} \right)^2 \right]. \quad (4)$$

طول مقیاس کولموگرو بیانگر اندازه کوچک‌ترین ادی در جریان است و به صورت زیر بیان می‌شود:

$$\eta = \left(\frac{V^3}{\varepsilon} \right)^{1/4}. \quad (5)$$

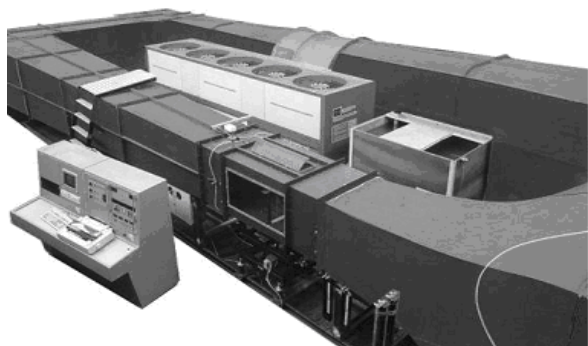
دو پارامتر مهم دیگر که در بررسی کیفی جریان‌های سیال از آنها استفاده می‌شود، چولگی^۲ و برجستگی^۳ است. چولگی برابر با گشتاور سوم نرمال شده است. چولگی در حقیقت معیاری از وجود یا عدم تقارن تابع توزیع است. برای یک توزیع کاملاً متقاضن چولگی صفر و برای یک توزیع نامتقاضن با کشیدگی به سمت مقادیر بالاتر چولگی مثبت و برای یک توزیع نامتقاضن با کشیدگی به سمت مقادیر کوچک‌تر مقدار چولگی منفی است که در اینجا بیان کننده مقدار تقارن سرعت لحظه‌ای نسبت به سرعت متوسط جریان سیال است. زمانی که چولگی غیر صفر است، داده‌ها نسبت به مقدار متوسط تقارن ندارند و داده‌ها را نمی‌توان توسط یک توزیع نرمال مدل کرد. زمانی که داده‌ها را بتوان توسط توزیع نرمال مدل کرد، نوسانات مؤلفه افقی سرعت و شدت نوسان کوچک است. کشیدگی برابر با گشتاور چهارم نرمال شده است. به عبارت دیگر کشیدگی معیاری از تیزی منحنی در نقطه بیشینه است. مقدار کشیدگی برای توزیع نرمال برابر ۳ است. این پارامترها مطابق زیر تعریف می‌گردند:

1- Dissipation Rate

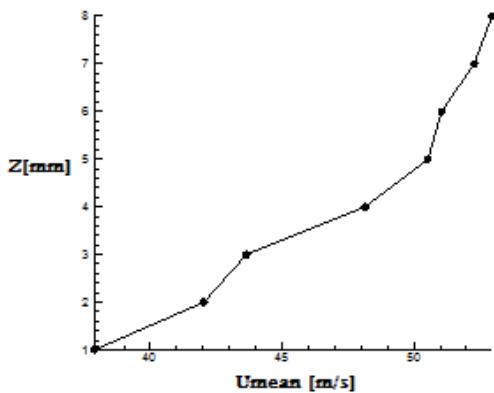
2- Skewness

3- Kurtosis

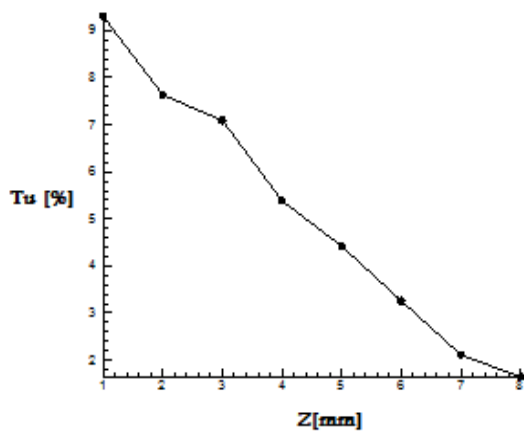
اضمحلال کمتر شود، در نهایت در ارتفاع‌های بالاتر ادی‌ها بزرگتر می‌شود. شکل ۵ تغییرات طول کولموگرو بر حسب ارتفاع را نشان می‌دهد. مشاهده می‌شود با افزایش ارتفاع طول کولموگرو افزایش پیدا می‌کند که این نشان دهنده بزرگتر شدن ادی‌ها است که ناشی از کوچک شدن نرخ اضمحلال می‌باشد. به عبارت دیگر اثر لایه مرزی در حال کم شدن است.



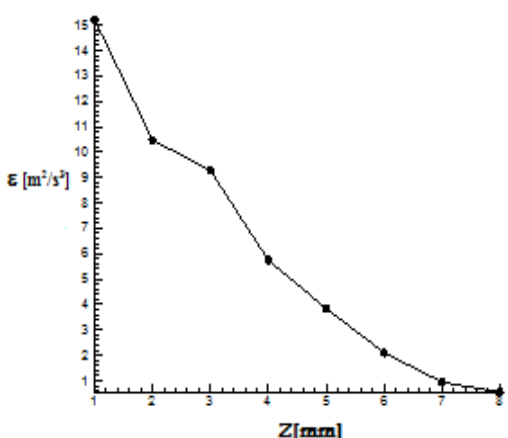
شکل (۱): شماتیکی از تونل باد استفاده شده در این پژوهش.



شکل (۲): تغییرات سرعت متوسط U_{mean} بر حسب ارتفاع.



شکل (۳): تغییرات شدت توربولانس بر حسب ارتفاع.

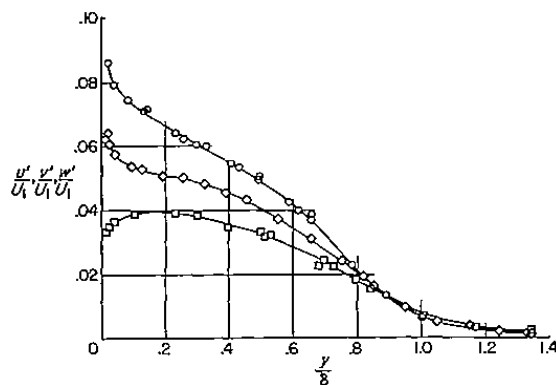


شکل (۴): تغییرات نرخ اضمحلال بر حسب ارتفاع.

۴- تحلیل نتایج

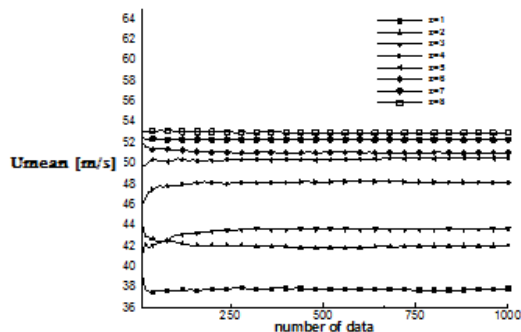
۴-۱- بررسی تغییرات پارامترهای مهم در ارتفاعات مختلف صفحه تخت

در ابتدا با استفاده از داده‌های آزمایش تجربی که ولتاژ‌های دریافتی از جریان سنج سیم داغ است و با داشتن سرعت‌های متناظر آنها، معادله کالیبراسیون سرعت به دست آمده است. برای این منظور یک کد کامپیوتری به زبان فرترن بر مبنای روش اسپلاین مکعبی نوشته شده است. با استفاده از کد نوشته شده این ولتاژها به سرعت‌های لحظه‌ای تبدیل شده تا از آنها برای محاسبه پارامترهای توربولانسی جریان استفاده شود. با استفاده از کد فرترن نوشته شده و به کارگیری سرعت‌های لحظه‌ای به دست آمده از کد، این پارامترها برای ارتفاعات مختلف لایه مرزی به دست آمده است. شکل ۲ تغییرات سرعت متوسط U_{mean} بر حسب ارتفاع در چند نقطه مختلف را نشان می‌دهد. مشاهده می‌شود با افزایش ارتفاع سرعت متوسط تقریباً به صورت سهمی افزایش می‌یابد تا به سرعت جریان آزاد نزدیک شود. زیرا بر روی سطح به خاطر شرط عدم لغزش سرعت صفر می‌باشد و هر چه به سمت بالا حرکت می‌شود، سرعت افزایش می‌یابد. تغییرات شدت توربولانس بر حسب ارتفاع در نقاط مختلف در شکل ۳ نشان داده شده است. مشاهده می‌شود با افزایش ارتفاع، شدت توربولانس کاهش یافته است. با توجه به رابطه شدت توربولانس (U_{rms}/U_{mean}) و مشاهده کاهش U_{rms} و افزایش U_{mean} با فاصله گرفتن از سطح می‌توان نتیجه گرفت که شدت توربولانس با افزایش ارتفاع کاهش پیدا می‌کند. شکل ۴ تغییرات نرخ اضمحلال انرژی را بر حسب ارتفاع در چند نقطه مختلف نشان می‌دهد. دیده می‌شود با افزایش ارتفاع، نرخ اضمحلال کاهش می‌یابد که دلیل آن افزایش U_{mean} می‌باشد. همچنین با افزایش ارتفاع، نرخ زمانی تغییر سرعت نیز کاهش می‌یابد که در نهایت باعث کاهش نرخ اضمحلال بر حسب ارتفاع می‌شود. هر چه نرخ

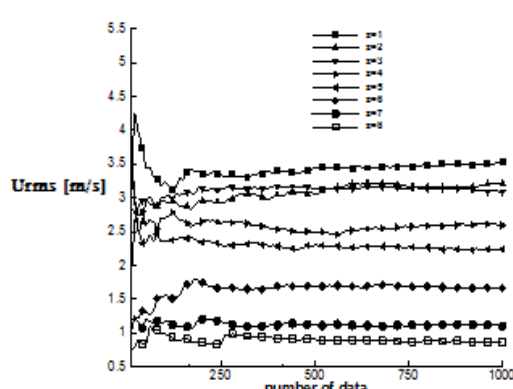


شکل (۷): نتایج مربوط به سه مولفه توربولانس در لایه مرزی با تغییر ارتفاع [۹].

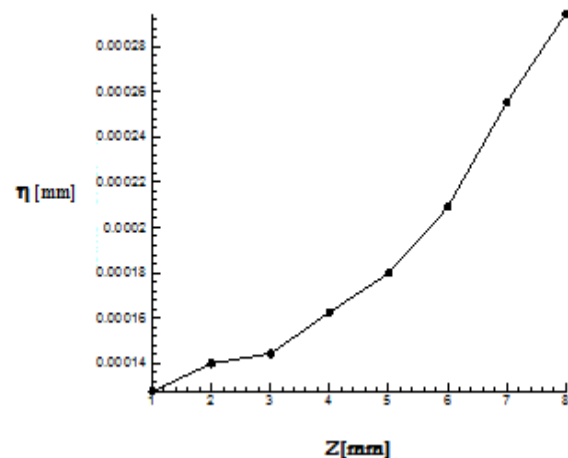
۴-۲- بررسی اثر تعداد داده‌ها بر پارامترهای مورد مطالعه
شکل ۸ اثر تعداد نمونه داده‌برداری (زمان داده‌برداری) را بر مقادیر U_{mean} در ارتفاع‌های مختلف نشان می‌دهد. مشاهده می‌شود برای تمامی ارتفاع‌ها حدوداً ۲۰۰ داده ($1/\tau$ ثانیه) کافی است که مقدار U_{mean} از زمان داده‌برداری مستقل شود. شکل‌های ۹ و ۱۰ اثر زمان داده‌برداری بر U_{rms} و T_u را نشان می‌دهد. مشاهده می‌شود که در ارتفاع‌های کمتر که مقدادر U_{rms} و T_u بزرگتر هستند، زمان تقریبی بیشتری لازم است تا پارامترها از زمان داده‌برداری مستقل شوند.



شکل (۸): اثر تعداد داده‌برداری بر مقدار سرعت متوسط.

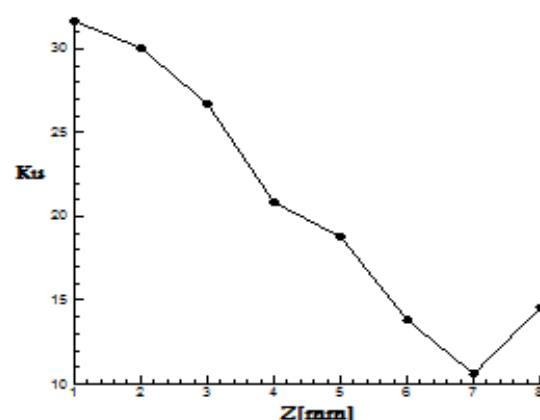


شکل (۹): اثر زمان داده‌برداری بر محدود میانگین مربعات سرعت.

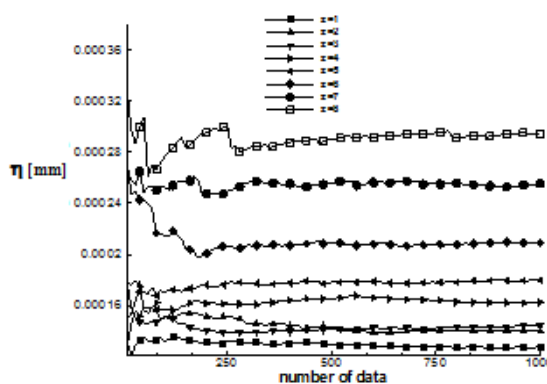


شکل (۵): تغییرات طول کولموگرو بر حسب ارتفاع.

شکل ۶ تغییرات بر جستگی را بر حسب ارتفاع نشان می‌دهد. مقادیر به دست آمده برای بر جستگی نشان دهنده تیزی منحنی توزیع در نقطه ماکریم می‌باشد که با افزایش ارتفاع کاهش یافته است. لازم به ذکر است در چند شکل قبل، عدم تبعیت الگوی رفتاری نقطه سوم با نقاط همسایه دیده می‌شود که این عدم تبعیت ممکن است ناشی از خطای حاصل از برداشت داده‌ها از سیستم اندازه‌گیری باشد. توزیع شدت اغتشاش‌های جریان سیال در لایه مرزی آشفته بر روی صفحه تخت برای یک مطالعه مشابه در شکل ۷ آمده است [۹]. شکل ۶ نشان می‌دهد که همانند نتایج تحقیق حاضر، شکل (۳)، مقدار شدت اغتشاش سرعت جریان سیال در لایه مرزی آشفته بسیار بالا است. نتایج مرجع [۹] نشان می‌دهد که شدت جریان اغتشاش در جهت جریان محوری بیشترین مقدار را دارد.



شکل (۶): تغییرات بر جستگی بر حسب ارتفاع.



شکل (۱۲): اثر زمان دادهبرداری (تعداد نمونه) بر طول کولموگرو.

با توجه به شکل های فوق می توان نتیجه گرفت برای شدت توربولانس جریان آزاد تقریباً برابر با 0.02% درصد، با انتخاب ۲۵۰ نمونه برای تعداد دادهبرداری می توان نتایج مناسب را به دست آورد و حجم دادهها و هزینه هارا به میزان قابل توجهی کاهش داد.

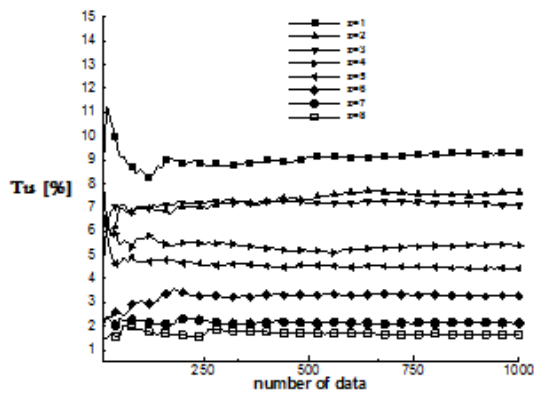
۴-۳-۴- تحلیل فرکانسی

تبديل سري فوريه برای اندازه گيري مقدار فرکانس سيگنال هاي گذرا و دائم مفيد است. مهمترین كاربرد تبدل سري فوريه يا تبدل سري فوريه در پردازش سيگنال است. همان طور که می توان برشی از توابع را به صورت بسط تيلور از توابع چند جمله ای نوشت، می توان توابع متناوب را به خوبی بر حسب توابع سينوسی با فاز اوليه و ضريب دلخواه نوشت. حال تبدل شكل سيگنال به سري فوريه با روش های تبدل سري فوريه انجام می شود. به وسیله تبدل گسسته فوريه می توان توابع و سيگنال های گسسته را از حوزه زمان به حوزه فرکانس و يا از حوزه مکان به حوزه عدد موج تبدل کرد.

$$X_k = \sum_{n=0}^{N-1} x_n e^{-\frac{2\pi i}{N} k_n} \quad (8)$$

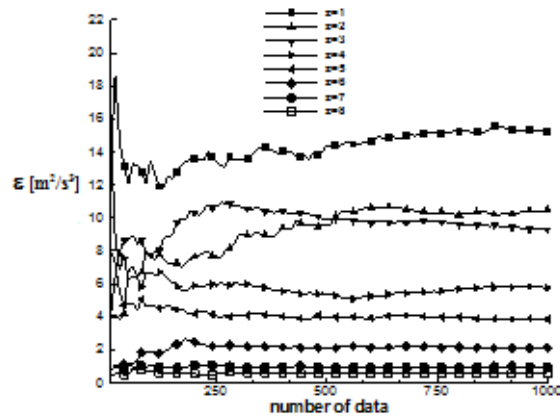
در اين پژوهش به منظور تحليل نحوه توزيع انرژي سيگنال در ارتفاعات مختلف تحليل سري فوريه برای سيگنال در ارتفاعات مختلف مورد توجه قرار گرفته است.

شکل های ۱۳ و ۱۴، تغييرات طيف توان انرژي با فرکانس را در نزديک ترين نقطه به صفحه، ۱ ميلى متری و همچنان در فاصله ۸ ميلى متری از صفحه تخت در خارج از لایه مرزی نشان می دهد. در داخل لایه مرزی و نزديک صفحه تخت به واسطه اثر جداره و لایه مرزی ميزان نوسانات بسيار زياد است.



شکل (۱۰): اثر زمان دادهبرداری بر شدت توربولانس.

شکل های ۱۱ و ۱۲ اثر زمان دادهبرداری بر نرخ اضمحلال و طول کولموگرو را نشان می دهد. همان طور که قبلاً بررسی شد، اين دو پارامتر در ارتفاعات مختلف عکس هم هستند. يعني در ارتفاع بالاتر که طول اضمحلال کوچکتر است، طول کولموگرو بزرگتر می باشد. به همين ترتيب مشاهده می شود که در ارتفاع پايان نتعداد دادهبرداری بيشتری لازم است که طول اضمحلال مستقل از زمان دادهبرداری شود در حالی که طول کولموگرو در ارتفاعات بالاتر که مقادير بيشتری دارد، به زمان دادهبرداری بيشتری احتياج دارد. انتخاب تعداد نمونه به مقدار شدت توربولانس جريان و عدم قطعیت نتایج وابسته است به گونه ای که هر چه توربولانس بيشتر باشد، به تعداد نمونه های دادهبرداری بيشتری نياز است.



شکل (۱۱): اثر زمان دادهبرداری (تعداد نمونه) بر نرخ اضمحلال.

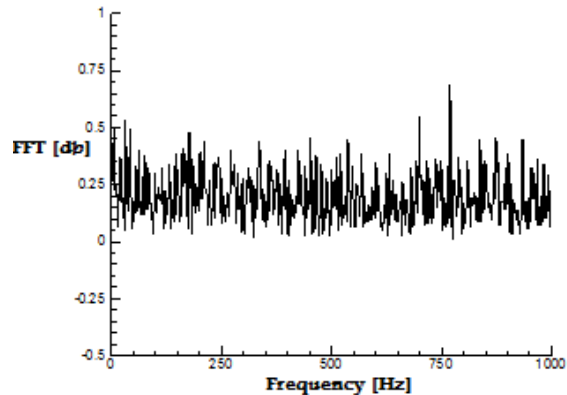
اندازه‌گیری یا از منابع دیگر ناشی شده باشد. همواره در حین انجام اندازه‌گیری‌های تجربی خطاهای وجود دارند که می‌توان آنها را به دو دسته تقسیم کرد: خطاهای ثابت(سیستماتیک) و خطاهای تصادفی (تکرارناپذیر). خطاهای ثابت در اندازه‌گیری‌های تکراری یکسان است و به همین دلیل با کالیبراسیون و تصحیحات مناسب قابل حذف شدن هستند. ولی خطاهای تصادفی برای هر بار خواندن متفاوتند بنابراین قابل حذف نیستند. هدف تحلیل عدم قطعیت، برآورده احتمال خطاهای تصادفی در نتایج تجربی است. فرض بر این است که تجهیزات به درستی ساخته شده‌اند و به خوبی کالیبره شده‌اند تا خطاهای ثابت حذف شوند. همچنین در انجام مشاهدات و ثبت آنها دقت کافی اعمال شده است. برآورده عدم قطعیت سه مرحله دارد:

- ۱- برآورده فاصله^۱ عدم قطعیت برای هر کمیت اندازه‌گیری شده.
- ۲- بیان محدوده قابل اطمینان^۲ در هر اندازه‌گیری که میزان ارزش واقعی محدوده آن فاصله را نشان می‌دهد.
- ۳- تحلیل پخش عدم قطعیت درون نتایج محاسبه شده از داده‌های تجربی.

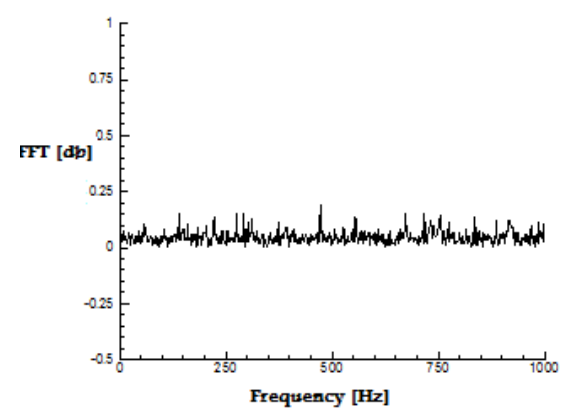
مقادیر اندازه‌گیری شده در یک آزمایش را به صورت x_1, x_2, \dots, x_n می‌توان در نظر گرفت. یکی از راه‌های ممکن برای یافتن فاصله‌ی عدم قطعیت برای هر متغیر، تکرار اندازه‌گیری به دفعات زیاد است. در نتیجه توزیعی از داده‌ها برای آن متغیر ایجاد می‌شود. خطاهای تصادفی در اندازه‌گیری معمولاً یک توزیع نرمال فرکانسی برای مقادیر اندازه‌گیری شده ایجاد می‌کنند. پراکنده‌گی داده‌ها برای توزیع نرمال توسط انحراف معیار استاندارد، s مشخص می‌شود.

طول عدم قطعیت برای هر متغیر اندازه‌گیری شده x_i می‌تواند به صورت $n\sigma_i$ بیان شود که $n=1, 2, 3$. برای داده‌های با توزیع نرمال، بیشتر از ۹۹٪ مقادیر اندازه‌گیری شده x_i با انحراف $\pm 3\sigma_i$ از مقدار متوسط قرار می‌گیرد، ۹۵٪ با $\pm 2\sigma_i$ و ۶۸٪ با $\pm \sigma_i$.

تحلیل پخش عدم قطعیت در محاسبات به صورت زیر انجام می‌شود. در نظر بگیرید اندازه‌گیری متغیرهای مستقل x_1, x_2, \dots, x_n در آزمایشگاه انجام شده و عدم قطعیت نسبی هر یک از آنها برابر u_i برآورد شده باشد. محاسبه خطایی که اندازه‌گیری هر متغیر روی $R=R(x_1, x_2, \dots, x_n)$ می‌گذارد را می‌توان باتابع مشتق R نسبت به آن متغیر تعیین کرد:



شکل (۱۳): تبدیل سریع فوریه برای $z=1mm$



شکل (۱۴): تبدیل سریع فوریه برای $z=8mm$

بررسی نویسنده‌گان برای ارتفاعات دیگر نشان می‌دهد با افزایش فاصله از صفحه تخت این نوسانات کم می‌شود. به عبارت دیگر، با افزایش ارتفاع که توربولانس کاهش یافته، دامنه تبدیل سری فوریه کاهش می‌یابد و می‌توان به این نتیجه رسید که کاهش توربولانس باعث کاهش دامنه تبدیل سری فوریه می‌شود. به عبارت دیگر با دورشدن از صفحه تخت و کاهش لایه مرزی و کم شدن شدت توربولانس، انرژی سیال نیز کاهش می‌یابد. در شکل‌ها پیک‌هایی دیده می‌شود که ممکن است به واسطه شدت توربولانس و یا نویز جریان باشد.

۴- بررسی عدم قطعیت داده‌برداری‌های این پژوهش
اغلب از نتایج تست‌های تجربی برای طراحی و آنالیزهای مهندسی استفاده می‌شود. اما تمامی داده‌ها کاملاً خوب نیستند. معتبرسازی داده‌ها باید قبل از اینکه نتایج تست در طراحی مورد استفاده قرار گیرد، انجام شود. تحلیل عدم قطعیت عملکردی است که برای کمی کردن اعتبار و دقت داده‌ها انجام می‌شود. عدم قطعیت‌های اندازه‌گیری ممکن است از ابزار اندازه‌گیری، موضوع مورد اندازه‌گیری، محیط، متصدی

1- Interval

2- Confidence Level

جدول (۱): طول عدم قطعیت برای پارامترهای توربولانسی.

| u_η | u_ε | u_{Tu} | u_{Umean} | Z (mm) |
|------------|-----------------|----------|-------------|--------|
| ۰/۰۰۰۰۲۶۵۱ | ۱۲/۶۶۵۳۷ | ۳/۸۷۱۶۱۸ | ۷/۰۵۰۹۱۲ | ۱ |
| ۰/۰۰۰۰۲۳۸۸ | ۷/۱۵۶۳۰۲ | ۲/۶۰۶۶۴۷ | ۶/۴۱۸۸۹ | ۲ |
| ۰/۰۰۰۰۲۲۸۵ | ۵/۸۸۰۷۸۸ | ۲/۲۴۶۳۱۲ | ۶/۱۸۶۸ | ۳ |
| ۰/۰۰۰۰۱۹۵۸ | ۲/۷۶۹۹۷۴ | ۱/۲۹۷۷۳۶ | ۵/۱۸۷۵۷۲ | ۴ |
| ۰/۰۰۰۰۱۷۷۸ | ۱/۵۲۰۷۱ | ۰/۸۷۵۰۸۲ | ۴/۴۷۱۰۶۸ | ۵ |
| ۰/۰۰۰۰۱۵۲۳ | ۰/۶۱۲۳۵۶ | ۰/۴۷۵۰۲۴ | ۳/۳۲۷۴۱۴ | ۶ |
| ۰/۰۰۰۰۱۲۰۷ | ۰/۱۷۸۲۷۴ | ۰/۱۹۹۸۱۴ | ۲/۲۱۰۷۶ | ۷ |
| ۰/۰۰۰۰۱۰۷۹ | ۰/۰۷۸۳۲۳ | ۰/۱۲۰۲۳۷ | ۱/۷۳۶۸۴ | ۸ |

۴-۵- شبکه عصبی

شبکه‌های عصبی با الهام از سیستم عصبی بدن طراحی و ابداع شده‌اند. یک شبکه عصبی از چندین عنصر به اسم نرون تشکیل شده است و هر یک از این نرون‌ها با نرون‌های دیگر ارتباط دارد، البته ارتباط بین نرون‌ها وزن دار می‌باشد. این وزن‌ها به عنوان پارامترهای مهم در آموزش شبکه‌های عصبی مطرح می‌شوند. به طور کلی شبکه‌های عصبی طوری آموزش داده می‌شوند که یک ورودی خاص منجر به خروجی خاصی در لایه خروجی شبکه عصبی شود. برای این که شبکه‌های عصبی توابع پیچیده‌ای در کاربردهای مختلف را شبیه‌سازی کنند، آموزش داده می‌شوند. یک شبکه با تصویر کردن مقادیر ورودی به مقادیر خروجی روی محاسبات اثر می‌گذارد. بجز نرون‌های لایه خروجی شبکه، تعداد نرون‌های هر لایه به طراح بستگی دارد. به جز شبکه‌های کاملاً خطی، تعداد بیشتر نرون در لایه پنهان منجر به قدرت بیشتر برای شبکه می‌شود. در صورتی که انتقال خطی مورد نیاز باشد، باید از یک نرون خطی استفاده کرد. اما شبکه‌های خطی نمی‌توانند هیچ محاسبه‌ی غیرخطی انجام دهند. استفاده از یک تابع انتقال غیرخطی شبکه را قادر می‌سازد تا ارتباطی غیرخطی بین ورودی‌ها و خروجی‌ها برقرار کند. یک مسئله ساده می‌تواند توسط یک لایه از نرون‌ها بیان شود اما شبکه‌های تک لایه نمی‌توانند مسائل خاص را حل کنند. لایه‌های پیشخور چندگانه^۱ به شبکه آزادی بیشتری می‌دهند. شبکه‌های دارای بایاس می‌توانند راحت‌تر ارتباط بین ورودی و خروجی را برقرار کنند. شبکه‌های پیشخور نمی‌توانند محاسبات گذرا را اجرا کنند. شبکه‌های پیشخور از زمانی مسیرهای پسخور داخلی برای رفتار گذرا لازم هستند. زمانی که چند بردار ورودی به یک شبکه وارد می‌شوند می‌توانند به صورت متوالی یا موازی باشند. دسته‌بندی ورودی‌های موازی از

$$u_{Ri} = \frac{x_i}{R} \frac{\partial R}{\partial x_i} u_{xi} \quad (9)$$

می‌توان نشان داد که بهترین بیان برای طول عدم قطعیت به صورت زیر است:

$$u_R = \left[\left(\frac{x_1}{R} \frac{\partial R}{\partial x_1} u_1 \right)^2 + \left(\frac{x_2}{R} \frac{\partial R}{\partial x_2} u_2 \right)^2 + \dots + \left(\frac{x_n}{R} \frac{\partial R}{\partial x_n} u_n \right)^2 \right]^{\frac{1}{2}} \quad (10)$$

در این پژوهش با استفاده از مباحث مطرح شده در این بخش، عدم قطعیت نتایج که یکی از مباحث بسیار مهم در هر اندازه‌گیری تجربی از جمله تولن باد است، محاسبه شده است. مقادیر عدم قطعیت پارامترهای توربولانسی با توجه به روابط و

وابستگی آنها به U_{rms} و U_{mean} به صورت زیر تعیین می‌گردد:

$$\frac{u_{Tu}}{Tu} = \sqrt{\left(\frac{u_{Umean}}{U_{mean}} \right)^2 + \left(\frac{u_{Urms}}{u_{rms}} \right)^2} \quad (11)$$

$$\frac{u_\varepsilon}{\varepsilon} = \sqrt{\left(\frac{2u_{Umean}}{U_{mean}} \right)^2 + \left(\frac{2u_{Urms}}{u_{rms}} \right)^2} \quad (12)$$

$$\frac{u_\eta}{\eta} = \sqrt{\left(\frac{u_{Umean}}{2U_{mean}} \right)^2 + \left(\frac{u_{Urms}}{2u_{rms}} \right)^2} \quad (13)$$

$$\frac{u_s}{s} = \sqrt{\left(\frac{3u_{Umean}}{2U_{mean}} \right)^2 + \left(\frac{3u_{Urms}}{2u_{rms}} \right)^2} \quad (14)$$

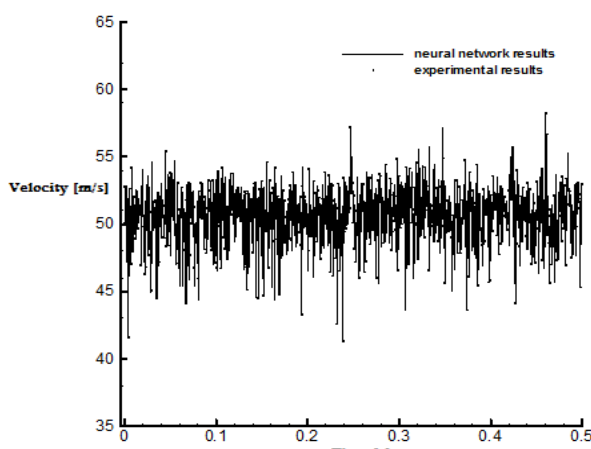
$$\frac{u_k}{k} = \sqrt{\left(\frac{2u_{Umean}}{U_{mean}} \right)^2 + \left(\frac{2u_{Urms}}{u_{rms}} \right)^2} \quad (15)$$

طول عدم قطعیت U_{mean} با توجه به اینکه سرعت‌ها برای هر نقطه به دفعات اندازه‌گیری شده، برابر $2\sigma \pm$ در نظر گرفته شده است. طول عدم قطعیت U_{rms} به صورت زیر با طول عدم قطعیت U_{mean} ارتباط می‌یابد:

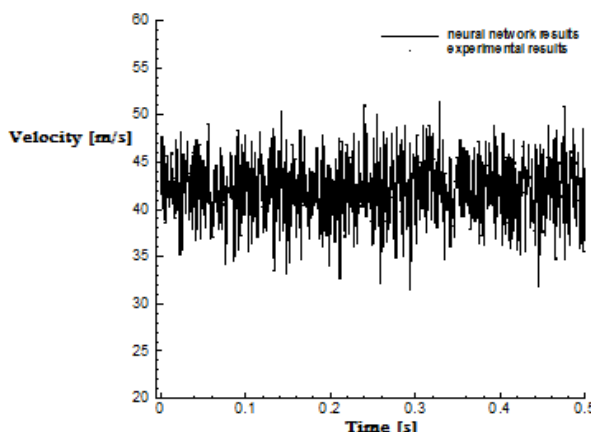
$$\frac{u_{Urms}}{U_{rms}} = 2 \frac{u_{Umean}}{U_{mean}}. \quad (16)$$

جدول ۱ مقادیر طول عدم قطعیت را برای پارامترهای مختلف نشان می‌دهد. برای مثال در ارتفاع ۱ میلی‌متری، عدم قطعیت برای سرعت متوسط ۷/۰۵ درصد و برای شدت توربولانس ۳/۸۷ درصد می‌باشد که برای ارتفاع ۸ میلی‌متر عدم قطعیت سرعت متوسط ۱/۷۳ درصد و شدت توربولانس ۰/۱۲ درصد می‌باشد. به عبارت دیگر با دور شدن از صفحه، عدم قطعیت کاهش یافته است. این بدان معناست که در سرعت‌های پایین عدم قطعیت افزایش یافته است. می‌توان گفت که با افزایش ارتفاع طول عدم قطعیت کاهش می‌یابد که به معنی نزدیک‌تر شدن داده‌ها به مقدار میانگین است. این موضوع بیانگر کاهش شدت توربولانس با افزایش ارتفاع می‌باشد و این نتیجه‌ای است که از لحاظ فیزیکی نیز مورد انتظار بود.

است. قبل از آن باز هم توانایی شبکه عصبی در تعیین پارامترهای توربولانسی در نقاط تست که داده‌های تجربی برای آنها موجود است امتحان شده که نتایج به دست آمده برای نقطه تست ۵ در جدول ۲ و برای نقطه تست ۲ در جدول ۳ آورده شده است. سپس از آن برای تقریب پارامترها در نقاط میانی هر دو نقطه‌ی موجود استفاده شده است. به منظور کاهش خطأ، تعیین ولتاژهای نوسانی در نقاط میانی با توجه به پروفیل سرعت لایه مرزی جریان آشفته ($\frac{y}{U} = \frac{u}{\delta}$)، انجام شده است. همچنین به این نکته دقت شده است که شدت توربولانس با ارتفاع به صورت خطی کاهش می‌یابد. در جدول ۴ پارامترهای توربولانسی به دست آمده برای ارتفاعهای میانی ارائه شده است. مشاهده می‌شود که نتایج به دست آمده قابل قبول بوده و روند تغییرات پارامترها با ارتفاع را دنبال می‌کند.



شکل (۱۵): سرعت لحظه‌ای بر حسب زمان برای نقطه ۵ حاصل از شبکه عصبی.



شکل (۱۶): سرعت لحظه‌ای بر حسب زمان برای نقطه ۲ حاصل از شبکه عصبی.

لحاظ محاسباتی مؤثرتر و قابل قبول‌تر است. نگارش ماتریسی مورد استفاده در مطلب این دسته‌بندی را ساده می‌کند. در کار حاضر برای ۸ نقطه از یک مقطع لایه مرزی که هر کدام به فاصله ۱ میلی‌متر از هم قرار دارند، در مدت ۵ ثانیه ولتاژهای اندازه‌گیری شده توسط جریان‌سنج سیم داغ در دست است که با استفاده از منحنی کالیبراسیون به دست آمده از کد فرترن نوشته شده، نویسندهان سرعت‌های لحظه‌ای را در طول ۵ ثانیه به فواصل زمانی ۰/۰۰۰۵ ثانیه برای هر نقطه لحاظ نموده‌اند. در ادامه با استفاده از روابط موجود و با استفاده از کد، پارامترهای توربولانسی در این نقاط که سرعت‌ها در آنها معلوم است، به دست آورده شده است. همچنین تلاش شده است با استفاده از شبکه عصبی برای تعدادی نقاط جدید که سرعت‌های لحظه‌ای آن در دست نیست، پارامترهای توربولانس تعیین شود. به این منظور نرمافزار مطلب استفاده شده است. ماتریس الگو، ولتاژهای نوسانی و ماتریس هدف، سرعت‌های لحظه‌ای قرار داده شده است. یکی از نقاط به عنوان تست نگه داشته و برای تعیین درستی خروجی‌های شبکه عصبی به کار برد می‌شود. به این ترتیب شبکه باید با ورود ولتاژهای مربوط به نقطه‌ی تست، سرعت‌های لحظه‌ای آن را به درستی ایجاد کند.

شبکه عصبی از ابزار قدرتمند در پیش‌بینی رفتار و پاسخ‌های سیستم در حوزه مهندسی است. در کار حاضر مدل شبکه عصبی مدل feed forward با ۱۰ نرون می‌باشد و برای تابع آموزش از الگوریتم لونبرگ – مارکوارد استفاده می‌شود. داده‌های حاصل از پربال لایه مرزی سیم داغ که به صورت ولتاژ می‌باشد، با انطباق آنها به مقادیر سرعت توسط منحنی کالیبراسیون و تبدیل به بردار سرعت، داده‌های مناسبی برای آموزش شبکه عصبی می‌باشند.

نتایج در مرجع [۱۲] نشان می‌دهد که الگوریتم مذکور در پیش‌بینی داده‌های حاصل از سیم داغ دارای عملکرد مناسبی است. در اولین گام با استفاده از مقادیر نوسانی ولتاژ و سرعت ۷ نقطه، شبکه عصبی را آموزش داده و برای نقطه هشتم دقت نتایج به دست آمده توسط شبکه عصبی با آنچه از منحنی کالیبراسیون مربوط به جریان‌سنج سیم داغ موجود بود، بررسی گردید. نقطه تست به ترتیب یکبار نقطه ۵ و بار دیگر نقطه ۲ انتخاب شد. نتایج حاصل از شبکه عصبی برای موقعیت مختلف در شکل‌های ۱۴ و ۱۵ آورده شده است. همان‌طور که از این شکل‌ها قابل مشاهده است، در هر دو حالت شبکه عصبی به خوبی توانسته است نوسانات سرعت را تعیین کند. گام بعدی استفاده از شبکه عصبی برای تعیین پارامترهای توربولانسی در نقاطی است که توسط جریان‌سنج سیم داغ داده‌برداری نشده

۶- مراجع

- Talamelli, A., Westin, K.J.A., and Alfredsson, P.H. "An Experimental Investigation of the Response of Hot-wire X-probes in Shear Flows", Experiments in Fluids, Vol. 28, No. 5, pp. 425-435, 2000.
- Österlund, J. and Johansson, A. "Dynamic Behavior of Hot-wire Probes in Turbulent Boundary Layers", Proc 5th European Turbulence Conf., pp. 398-402, 1994.
- Baron, A. and Quadrio, M. "Turbulent Boundary Layer over Riblets: Conditional Analysis of Ejection-Like Events", Int. J. Heat and Fluid Flow, Vol. 18, No. 2, pp. 188-196, 1997.
- Brzek, B., Chao, D., Turan, O., and Castillo, L., "Characterizing Developing Adverse Pressure Gradient Flows Subject to Surface Roughness", Experiments in Fluids, Vol. 48, No. 4, pp. 663-677, 2010.
- Soltani, M.R., Dehghan Manshadi, M., and Mirabdollahi M.J. "An Experimental Study of the Flow Characteristics in a Subsonic Wind Tunnel", Int. Mech. Eng. Conf., December 5-8, Kuwait, 2004.
- Schubauer, G.B. "Turbulent Process as Observed in Boundary Layer and Pipe", J. Appl. Phys., Vol. 25, No. 188, pp. 188-196, 1954.
- Chamorro, L.P. and Porte-Agel, F. "A Wind-Tunnel Investigation of Wind-Turbine Wakes: Boundary-Layer Turbulence Effects: Boundary Layer Turbulence Effects", Boundary-Layer Meteorology, Vol. 132, No. 1, pp. 129-149, 2009.
- Foucaut, J.M., Coudert, S., and Stanislas, M. "Unsteady Characteristics of Near-Wall Turbulence Using High Repetition Stereoscopic Particle Image Velocimetry (PIV)", Measurement Sci. & Tech., Vol. 20, No. 7, pp. 740-744, doi:10.1088/0957-0233/20/7/074004, 2009.
- Klebanoff, P.S. "Characteristics of Turbulence in a Boundary Layer with Zero Pressure Gradient", NACA Technical Note, No. 3178, 1954
- Eshkofte, H., Dehghan, A.A., and Manshadi, M.D. "Experimental Investigation on the Effect of Roughness on the Characteristics of Boundary Layer of a Flat Plate", 11th Aerospace Conf., Shahid Sattari Univ., 2012 (In Persian).
- Ghorbanian, K., Soltani, M.R., and Manshadi, M.D., "Experimental Investigation on Turbulence Intensity Reduction in Subsonic Wind Tunnels", Aerospace Sci. and Tech., Vol. 15, No. 2, pp. 137-147, 2011.
- Manshadi, M.D., Shamsaddini, R., and Saeidinezhad, A., "Prediction and Analysis of Experimental Results of Hot-Wire Anemometry by Using of Neural Network", J. Modelling in Eng., Vol. 8, No. 20, pp. 83-92, 2010. (In Persian).

جدول (۲): مقایسه پارامترهای توربولانسی حاصل از شبکه عصبی با نتایج تجربی در نقطه ۵

| | U _{MEAN} | TI | ϵ | η | U _{RMS} |
|----------|-------------------|------|------------|-------------|------------------|
| Hot Wire | ۵۰/۵۳ | ۴/۴۲ | ۲/۸۴ | ۰/۰۰۰۱۱۷۹۷۴ | ۲/۲۳۵۵ |
| NN | ۴۹/۸۱ | ۴/۷۳ | ۴/۴۲ | ۰/۰۰۰۱۷۳۵۳ | ۲/۳۶۰۱ |
| Error | ۱/۱۷۴۳ | %۷ | %۱۵ | %۳ | %۶ |

جدول (۳): پارامترهای توربولانسی حاصل از شبکه عصبی برای چند نقطه میانی.

| η | ϵ | TI | U _{mean} | Z (mm) |
|----------|------------|------|-------------------|--------|
| ۰/۰۰۰۱۳۶ | ۱۱/۵۹ | ۸/۱۰ | ۴۱/۹۰ | ۱/۵ |
| ۰/۰۰۰۱۴۹ | ۸/۰۹ | ۶/۶۸ | ۴۵/۰۸ | ۲/۵ |
| ۰/۰۰۰۱۵۳ | ۷/۲۸ | ۶/۲۹ | ۴۷/۳۰ | ۳/۵ |
| ۰/۰۰۰۱۶۷ | ۵/۰۷ | ۵/۰۶ | ۴۸/۹۹ | ۴/۵ |
| ۰/۰۰۰۱۸۲ | ۳/۶۱ | ۴/۲۷ | ۵۰/۴۱ | ۵/۵ |
| ۰/۰۰۰۲۱۵ | ۱/۸۵ | ۳/۰۴ | ۵۱/۶۵ | ۶/۵ |
| ۰/۰۰۰۲۲۲ | ۱/۶۲ | ۲/۷۴ | ۵۲/۶۸ | ۷/۵ |

۵- نتیجه‌گیری

در این پژوهش بررسی‌های تجربی با استفاده از سیم داغ برای مطالعه دقیق لایه مرزی از زوایای مختلف انجام گرفته است. به همین منظور در یک مقطع از جریان عبوری از صفحه تخت، با استفاده از داده‌های حاصله از جریان سنج سیم داغ، پارامترهای توربولانسی در ارتفاع‌های مختلف تعیین و تحلیل گردید. بررسی اثر تعداد نمونه داده‌برداری روی پارامترهای مطالعه توربولانس نیز در این تحقیق انجام شده است. نتایج نشان می‌دهند که با فاصله گرفتن از صفحه، شدت توربولانس کاهش و سرعت متوسط افزایش می‌یابد. با افزایش ارتفاع طول کولموگرو افزایش پیدا می‌کند که این نشان دهنده بزرگتر شدن ادیها است که ناشی از کوچک شدن نرخ اضمحلال می‌باشد. همچنین با افزایش ارتفاع، دامنه تبدیل سری فوریه کاهش می‌یابد و می‌توان به این نتیجه رسید که کاهش توربولانس باعث کاهش دامنه تبدیل سری فوریه می‌شود. همچنین با آموزش یک شبکه عصبی، توافق خوبی برای داده‌های نقطه هدف شبکه عصبی با داده‌های به دست آمده از طریق تجربی مشاهده شد که اطمینان لازم در استفاده از این شبکه عصبی را برای تعیین مقادیر متناظر در نقاطی غیر از نقاط داده‌برداری ایجاد نمود. پیشنهاد می‌شود در تحقیقات آینده تعییرات در طول و عرض لایه مرزی هم زمان مورد توجه قرار گیرد.